

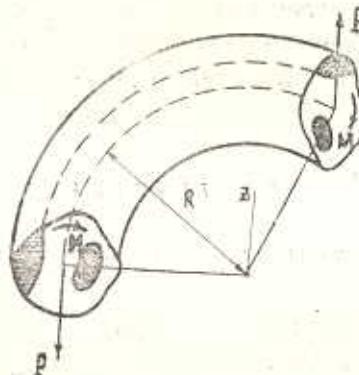
УДК 539.376

НЕЛИНЕЙНАЯ ПОЛЗУЧЕСТЬ МНОГОСЛОЙНОГО СЕКТОРА КРУГОВОГО КОЛЬЦА ПРИ КРУЧЕНИИ

ПОЛАДЯН Ф. М.

Рассматривается задача о кручении составного сектора кругового кольца (кривой стержень), поперечное сечение которого состоит из N различных областей $\Omega_1, \Omega_2, \dots, \Omega_N$, материалы которых обладают свойством нелинейной наследственной ползучести [1], с различными мерами ползучести и модуля мгновенного сдвига.

Пусть рассматриваемый сектор кругового кольца с постоянным поперечным сечением находится под воздействием перерезывающих сил и крутящих моментов $PF(R -$ радиус сектора кольца), приложенных на торцевых сечениях (фиг. 1). Подобное напряженное сос-



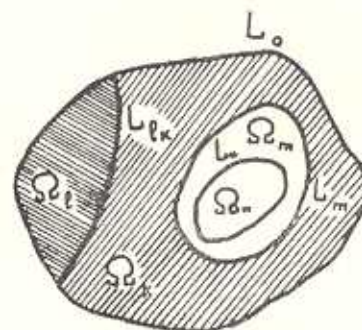
Фиг. 1

тояние возникает в пружине с малым шагом при ее центральном сжатии. Такая задача в постановке теории упругости рассматривалась в работах [2—6]. Аналогичная задача за пределом упругости для неупрочняющегося материала исследована в [7—8]. Пластическое кручение однородных кривых стержней исследовано в работе [9]. Кручение однородных кривых стержней при нелинейной ползучести исследовано в [10—11]. Кручение составного сектора кругового кольца с круговым поперечным сечением при ползучести рассмотрено в [12—13].

§ 1. Основные уравнения задачи. Обозначим через L_0 внешний контур области всего поперечного сечения сектора кругового кольца,

через L_m контур области Ω_m , а через L_{lk} — линию раздела смежных областей Ω_l и Ω_k (фиг. 2).

Принимаем, что в области Ω_m между компонентами деформаций ползучести и напряжениями имеют место соотношения И. Х. Арутюняна [1]:



Фиг. 2

$$2G_m \varepsilon_{ij}^{(m)} = S_{ij}^{(m)} - \int_0^t S_{ij}^{(m)} f_n [z_0^{(m)}(t)] K_m(t, \tau) d\tau, \quad (m=1, 2, \dots, N) \quad (1.1)$$

где $G_m = E_m / 3$, E_m принимается постоянным, $S_{ij}^{(m)} = \delta_{ij} z_0^{(m)}$, δ_{ij} — символ Кронекера, $z^{(m)}$ — среднее давление, $f_n[z_0^{(m)}(t)]$ — функция, характеризующая нелинейную зависимость между напряжениями и деформациями ползучести, $z_0^{(m)}(t)$ — интенсивность тензора напряжений в области Ω_m . $K_m(t, \tau) = 3G_m \frac{\partial C_m(t, \tau)}{\partial \tau}$; здесь G_m — модуль сдвига, а $C_m(t, \tau)$ — мера ползучести в области Ω_m .

Для компонентов деформаций в цилиндрических координатах будем иметь [14].

$$\begin{aligned} \varepsilon_r^{(m)} &= \frac{\partial u^{(m)}}{\partial r}, \quad \varepsilon_\theta^{(m)} = \frac{u^{(m)}}{r} + \frac{1}{r} \frac{\partial v^{(m)}}{\partial \theta}, \\ 2\varepsilon_{r\theta}^{(m)} &= \frac{\partial v^{(m)}}{\partial r} - \frac{v^{(m)}}{r} + \frac{1}{r} \frac{\partial u^{(m)}}{\partial \theta}, \quad \varepsilon_z^{(m)} = \frac{\partial w^{(m)}}{\partial z}, \\ 2\varepsilon_{z\theta}^{(m)} &= \frac{\partial v^{(m)}}{\partial z} + \frac{1}{r} \frac{\partial w^{(m)}}{\partial \theta}, \quad 2\varepsilon_{rz}^{(m)} = \frac{\partial u^{(m)}}{\partial z} + \frac{\partial w^{(m)}}{\partial r} \end{aligned} \quad (1.2)$$

(m=1, 2, ..., N).

Из (1.2) перемещения представим в виде

$$\begin{aligned} u^{(m)} &= u_0^{(m)} + \int \left[2r\varepsilon_{r\theta}^{(m)} - r \frac{\partial v^{(m)}}{\partial r} + v^{(m)} \right] d\theta, \quad v^{(m)} = v_0^{(m)} + \int [2\varepsilon_{z\theta}^{(m)} r - u^{(m)}] d\theta, \\ w^{(m)} &= w_0^{(m)} + \int \left[2r\varepsilon_{rz}^{(m)} - r \frac{\partial v^{(m)}}{\partial z} \right] d\theta, \quad (m=1, 2, \dots, N) \end{aligned} \quad (1.3)$$

где $u_0^{(m)}$, $v_0^{(m)}$, $w_0^{(m)}$ — произвольные функции от r , z и t .

Примем, аналогично задаче кручения однородных кривых стержней, что все компоненты напряжения, за исключением $\sigma_{r\theta}^{(m)}$, $\sigma_{z\theta}^{(m)}$, равны нулю. Тогда из уравнений равновесия [14] остается

$$\frac{\partial}{\partial r} [r^2 \sigma_{r\theta}^{(m)}] + \frac{\partial}{\partial z} [r^2 \sigma_{z\theta}^{(m)}] = 0 \quad (m=1,2,\dots,N) \quad (1.4)$$

а из остальных следует, что напряженное состояние сектора кольца не зависит от θ , следовательно, тензор деформации также не зависит от θ .

Подставляя (1.3) в (1.2) и учитывая указанное обстоятельство, будем иметь

$$\varepsilon_r^{(m)} = \frac{\partial u_0^{(m)}}{\partial r}, \quad \varepsilon_z^{(m)} = \frac{\partial w_0^{(m)}}{\partial z}, \quad 2\varepsilon_{rz}^{(m)} = \frac{\partial u_0^{(m)}}{\partial z} + \frac{\partial w_0^{(m)}}{\partial r}, \quad (m=1,2,\dots,N) \quad (1.5)$$

и

$$2\varepsilon_{r\theta}^{(m)} = \frac{\partial v_0^{(m)}}{\partial r} - \frac{v_0^{(m)}}{r}, \quad 2\varepsilon_{z\theta}^{(m)} = \frac{\partial v_0^{(m)}}{\partial z} - \frac{D(t)}{r}, \quad (m=1,2,\dots,N) \quad (1.6)$$

где $D(t)$ — произвольная функция от t .

Из соотношения (1.6) исключая $v_0^{(m)}$, получим уравнение совместности деформаций

$$\frac{\partial}{\partial r} \left[\frac{\varepsilon_{r\theta}^{(m)}}{r} \right] - \frac{\partial}{\partial z} \left[\frac{\varepsilon_{z\theta}^{(m)}}{r} \right] = \frac{D(t)}{r^2} \quad (m=1,2,\dots,N) \quad (1.7)$$

Полагая в (1.5) равными нулю все компоненты деформации, получим систему относительно $u_0^{(m)}$, $w_0^{(m)}$. Решая эту систему и пользуясь (1.3), для перемещения получим

$$u^{(m)} = a(t)z \sin \theta, \quad v^{(m)} = v_0^{(m)} + a(t)z \cos \theta, \quad w^{(m)} = -D(t)\theta - a(t)r \sin \theta$$

где $a(t)$ — произвольная функция от t , которая определяется из условия закрепления сектора кольца.

В каждой области Ω_m , вводя функцию напряжений $\Phi_m(r, z, t)$

$$\sigma_{r\theta}^{(m)} = \frac{1}{r^2} \frac{\partial \Phi_m}{\partial r}, \quad \sigma_{z\theta}^{(m)} = -\frac{1}{r^2} \frac{\partial \Phi_m}{\partial z}, \quad (m=1,2,\dots,N) \quad (1.8)$$

при помощи соотношения (1.1) и уравнения (1.7) получим

$$\begin{aligned} & \frac{\partial}{\partial r} \left(\frac{1}{r^2} \frac{\partial \Phi_m}{\partial r} \right) + \frac{\partial}{\partial z} \left(\frac{1}{r^2} \frac{\partial \Phi_m}{\partial z} \right) - \left[\frac{\partial}{\partial r} \left| \frac{f_m(\sigma_0^{(m)})}{r^2} \frac{\partial \Phi_m}{\partial r} \right| \right. + \\ & \left. + \frac{\partial}{\partial z} \left| \frac{f_m(\sigma_0^{(m)})}{r^2} \frac{\partial \Phi_m}{\partial z} \right| \right] K_m(t, z) dz = -\frac{D(t)G_m}{r^3}, \quad (m=1,2,\dots,N) \end{aligned} \quad (1.9)$$

где

$$\sigma_0^{(m)} = \sigma_0^{(m)}(t) = r^{-2} \sqrt{\left(\frac{\partial \Phi_m}{\partial r} \right)^2 + \left(\frac{\partial \Phi_m}{\partial z} \right)^2}, \quad (m=1,2,\dots,N) \quad (1.10)$$

Пользуясь тем, что боковая поверхность сектора кольца свободна от внешних сил, получим

$$\Phi(r, z, t) = C_0(t) \text{ на } L_0 \quad (1.11)$$

где $C_0(t)$ — произвольная функция, зависящая от t .

Из условия равновесия бесконечно малого элемента, находящегося в окрестности линии раздела L_{ik} смежных областей Ω_i и Ω_k , получим

$$\Phi_i(r, z, t) = \Phi_k(r, z, t) + C_{ik}^* \text{ на } L_{ik} \quad (1.12)$$

где $C_{ik}^* = C_{ik}(t)$ — произвольная функция от t .

Не нарушая общности, произвольные функции $C_0^*(t)$ и $C_{ik}^*(t)$ можно принять равными нулю.

Приближаясь к линии раздела L_{ik} со стороны области Ω_i и Ω_k , пользуясь (1.1) — (1.3), (1.8) и принимая во внимание непрерывность перемещения $w^{(m)}$, находим условия, которым должны удовлетворять нормальные производные функции напряжений $\Phi(r, z, t)$ на линиях раздела L_{ik} :

$$\begin{aligned} \frac{1}{G_i} \frac{\partial \Phi_i}{\partial n} - 3 \int_{z_0}^r \frac{\partial \Phi_i}{\partial n} f_i[z_0^{(n)}(\tau)] \frac{\partial C_i(t, \tau)}{\partial \tau} d\tau = \\ = \frac{1}{G_k} \frac{\partial \Phi_k}{\partial n} - 3 \int_{z_0}^r \frac{\partial \Phi_k}{\partial n} f_k[z_0^{(k)}(\tau)] \frac{\partial C_k(t, \tau)}{\partial \tau} d\tau \end{aligned} \quad (1.13)$$

где n — нормаль к L_{ik} .

Крутящий момент выражается формулой

$$M = \sum_{j=1}^N \iint_{\Omega_j} [(r-R)z_j^{(i)} - z z_j^{(i)}] d\Omega \quad (1.14)$$

Подставляя (1.8) в (1.14), принимая формулу Грина-Остроградского и учитывая $C_0^*(t) = 0$, получим

$$M = 2R \sum_{j=1}^N \iint_{\Omega_j} \frac{\Phi_j}{r^3} d\Omega \quad (1.15)$$

§ 2. Пусть L_* — замкнутая кривая, целиком лежащая в одной из областей Ω_m ($m=1, 2, \dots, N$) поперечного сечения скручиваемого сектора кольца. Область, ограниченную этим контуром, обозначим Ω_* (фиг. 2). Интегрируя обе части уравнения (1.9) в области Ω_* и переходя к контурному интегралу, получим

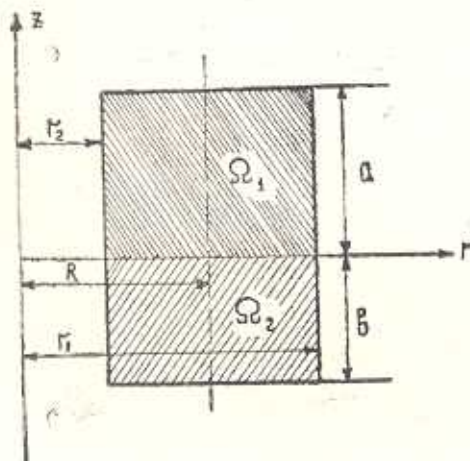
$$\int_{L_*} \frac{1}{r^3} \left\{ \frac{\partial \Phi_m}{\partial n} - \int_{z_0}^r \frac{\partial \Phi_m}{\partial \tau} f_m[z_0^{(m)}(\tau)] K_m(t, \tau) d\tau \right\} ds =$$

$$= \frac{D(t)G_m}{2} \int_{L_*} \frac{dz}{r^2} \quad (2.1)$$

где n — направление внешней нормали к контуру L_* , а s — дуга этого контура. Интегральное уравнение (2.1) обобщает теорему Бредта о циркуляции касательных напряжений при кручении составного сектора кругового кольца при нелинейной ползучести.

Справедливость формулы (2.1) можно доказать [15] и в случае, когда контур L_* проходит через несколько областей Ω_m ($m = 1, 2, \dots, s \leq N$), пересекая их линии раздела L_{1s} .

§ 3. Прямоугольное сечение. Рассмотрим случай, когда поперечное сечение состоит из двух прямоугольных областей (фиг. 3). Пусть в



Фиг. 3

области Ω_1 материал обладает свойством нелинейной ползучести, а в области Ω_2 справедлив закон Гука. На основе вышесложенного функция $\Phi_1(r, z, t)$ в области Ω_1 удовлетворяет уравнению (1.9), а функция $\Phi_2(r, z, t)$ в области Ω_2 — уравнению

$$\frac{\partial}{\partial r} \left(\frac{1}{r^2} \frac{\partial \Phi_2}{\partial r} \right) + \frac{\partial}{\partial z} \left(\frac{1}{r^2} \frac{\partial \Phi_2}{\partial z} \right) = - \frac{D(t)G_2}{r^2} \quad (3.1)$$

Имеем следующие контурные условия (1.11) и условия на линии контакта (1.12), (1.13):

$$\begin{aligned} \Phi_1(r_1, z, t) &= \Phi_2(r_2, z, t) = \Phi_1(r, -b, t) = \\ &= \Phi_2(r, a, t) = 0 \quad (i = 1, 2), \quad \Phi_1(r, 0, t) = \Phi_2(r, 0, t) \end{aligned} \quad (3.2)$$

$$\frac{G_1}{G_2} \frac{\partial \Phi_2}{\partial z} - \frac{\partial \Phi_1}{\partial z} = \left[\frac{\partial \Phi_1}{\partial z} f_1(z_0^{(1)}(z)) K_1(t, z) dz \right] \quad \text{при } z=0$$

Полагаем, что $f_1(z_0^{(1)}(t))$ содержит физический параметр λ , нуль-

вое значение которого соответствует линейной ползучести, то есть $f_1[\varphi_0^{(1)}(t)] = 1$ при $\lambda = 0$.

Положим

$$f_1[\varphi_0^{(1)}(t)] = 1 + \lambda [\varphi_0^{(1)}(t)]^2 \quad (3.3)$$

Решение уравнений (1.9) и (3.1) пишем в виде

$$\Phi_i(r, z, t) = \sum_{n=0}^{\infty} r^n \varphi_{in}(r, z, t), \quad (i=1, 2) \quad (3.4)$$

где $\Phi_{10}(r, z, t)$ соответствует области линейно-упругого материала. Подставляя (3.4) в (1.9) и (1.10), приходим к системе рекуррентных дифференциальных уравнений

$$\frac{\partial^2 \Phi_{1n}}{\partial r^2} - \frac{3}{r} \frac{\partial \Phi_{1n}}{\partial r} + \frac{\partial^2 \Phi_{1n}}{\partial z^2} = -Q_n(r, z, t), \quad (n=0, 1, \dots) \quad (3.5)$$

здесь

$$Q_0(t) = G_1 \left[D(t) + \int_{z_1}^t D(\tau) R_1(t, \tau) d\tau \right]$$

$$Q_n(t, z, t) = \sum_{k=0}^{n-1} \int_{z_1}^t N_1(t, \tau) [\text{grad} \Phi_{1k} \text{grad} \Phi_{1,n-k} - w_k Q_{n-1-k}] d\tau \quad (n=1, 2, \dots) \quad (3.6)$$

$$N_1(t, z) = K_1(t, z) + \int_z^t R_1(t, \xi) K_1(\xi, z) d\xi, \quad w_n = r^{-4} \sum_{k=0}^n \text{grad} \Phi_{1k} \text{grad} \Phi_{1,n-k},$$

$R_1(t, z)$ — резольвента ядра $K_1(t_1, z)$. Для меры ползучести

$$C_1(t, z) = \varphi_1(z) [1 - \exp(-\gamma_1(t-z))]$$

имеем

$$R_1(t, z) = \gamma_1 - \gamma_1(z) + [\gamma_1'(z) + \gamma_1''(z) - \gamma_1 \gamma_1''(z)] \exp(\gamma_1(z)) \int_z^t \exp(-\gamma_1(x)) dx$$

где

$$\gamma_1(t) = \gamma_1 \int_0^t [1 + 3G_1 \varphi_1(\tau)] d\tau, \quad \varphi_1(z) = C_{0,1} + \frac{A_{11}}{z}$$

здесь γ_1 , $C_{0,1}$, A_{11} — постоянные, характеризующие свойства ползучести материала.

Функции $\Phi_{in}(r, z, t)$ представим в виде рядов [15, 16]

$$\Phi_{in}(r, z, t) = \sum_{k=1}^{\infty} a_{ik}^n(z, t) W_k(p_k r), \quad (i=1, 2) \quad (3.7)$$

Здесь

$$W_n(\mu_k r) = \frac{J_n(\mu_k r)}{J_2(\mu_k r_2)} - \frac{Y_n(\mu_k r)}{Y_2(\mu_k r_2)} \quad (n = 1, 2, \dots)$$

где $J_n(x)$ и $Y_n(x)$ — функции Бесселя от действительного аргумента n -го порядка соответственно первого и второго рода, а $\{\mu_k\}$ — корни уравнения $W_2(\mu_k r_2) = 0$.

Для функции $W_n(\mu_k r)$ справедливы следующие формулы:

$$\int_{r_1}^{r_2} r W_1(\mu_k r) W_2(\mu_p r) dr = \frac{\mu_k}{\mu_p} \int_{r_1}^{r_2} r W_2(\mu_k r) W_1(\mu_p r) dr = \begin{cases} 0 & \text{при } p \neq k \\ \omega_k & \text{при } p = k \end{cases}$$

где

$$\omega_k = 0.5 \{ [r_2 W_1(\mu_k r_2)]^2 - [r_1 W_1(\mu_k r_1)]^2 \}$$

Функции $W_n(x)$ удовлетворяются теми же рекуррентными формулами, что и функции $J_n(x)$, $Y_n(x)$.

Пользуясь (3.2) и (3.7), получим граничные условия для функции $a_{1k}^n(z, t)$:

$$a_{1k}^n(-b, t) = a_{2k}^n(a, t) = 0, \quad a_{1k}^n(0, t) = a_{2k}^n(0, t)$$

$$\frac{G_1}{G_2} \frac{\partial a_{2k}^n(z, t)}{\partial z} = \frac{\partial a_{1k}^n(z, t)}{\partial z} - \int_{z_1}^t \frac{\partial a_{1k}^n(t, \tau)}{\partial z} K_1(t, \tau) d\tau + F_k^n(z, t) \quad \text{при } z = 0, \quad (3.8)$$

где

$$F_k^n(z, t) = 0, \quad \text{а при } n \geq 1 \quad F_k^n(z, t) =$$

$$= \frac{1}{\omega_k} \sum_{j=0}^{n-1} \int_{r_1}^{r_2} \left[\int_{z_1}^t \omega_j \frac{\partial \Phi_{1, n-1-j}}{\partial z} K_1(t, \tau) d\tau \right] r W_2(\mu_k r) dr$$

Коэффициенты $a_{1k}^n(z, t)$, удовлетворяющие условиям (3.8), определяются следующими формулами:

$$\begin{aligned} a_{1k}^n(z, t) = & \left\{ \frac{C_{1k}^n(z, t)}{\mu_k^2 \operatorname{ch} \mu_k b} + \operatorname{th} \mu_k b \right\} \tilde{h}_k^n(z, t) + \\ & + \gamma_k \int_{z_1}^t \tilde{h}_k^n(z, \tau) R_1(t, \tau) d\tau \Bigg\} \operatorname{ch} \mu_k z + \left\{ \tilde{h}_k^n(z, t) + \right. \\ & \left. + \gamma_k \int_{z_1}^t \tilde{h}_k^n(z, \tau) R_1(t, \tau) d\tau \right\} \operatorname{sh} \mu_k z - \frac{C_{1k}^n(z, t)}{\mu_k^2} \\ a_{2k}^n(z, t) = & \left\{ \frac{C_{1k}^n(z, t)}{\mu_k^2 \operatorname{ch} \mu_k b} - \frac{1}{\mu_k^2} [C_{1k}^n(z, t) - C_{2k}^n(t)] + \right. \end{aligned}$$

$$+ \mu_k b \left| \tilde{h}_k^n(z, t) + \gamma_k \int_{\gamma}^t \tilde{h}_k^n(z, z) R_1(t, z) dz \right| \left| \operatorname{ch} \mu_k z + m_k'(z, t) + \right. \\ \left. + n_k \left| \tilde{h}_k^n(z, t) + \gamma_k \int_{\gamma}^t \tilde{h}_k^n(z, z) R_1(t, z) dz \right| \right| \operatorname{sh} \mu_k z - \frac{C_{2k}^n(t)}{\mu_k^2}$$

Здесь

$$C_{1k}^n(z, t) = (\omega_k^*)^{-1} \int_{r_1}^{r_2} Q_n(r, z, t) r^{-1} W_1(\mu_k r) dr, \\ C_{2k}^n(t) = (\omega_k^*)^{-1} F(t) G_2 \int_{r_1}^{r_2} r^{-1} W_1(\mu_k r) dr, \quad C_{2k}^n(t) = 0 \quad n > 1 \\ \tilde{h}_k^n(z, t) = \frac{G_1 m_k'(z, t) - G_2 F_k^n}{G_1 - n_k G_2}, \quad \gamma_k = \frac{G_2}{G_1 - n_k G_1} \\ n_k = -\frac{\operatorname{th} \mu_k b}{\operatorname{th} \mu_k a}, \quad m_k'(z, t) = \frac{C_{1k}^n(t)}{\mu_k^2 \operatorname{sh} \mu_k t} + \\ + \frac{1}{\mu_k^2 \operatorname{sh} \mu_k a} [C_{1k}^n(z, t) - C_{2k}^n(t)] \operatorname{ch} \mu_k a - \frac{C_{1k}^n(z, t) \operatorname{ch} \mu_k a}{\mu_k^2 \operatorname{sh} \mu_k a \operatorname{ch} \mu_k b}$$

Для существования решения задали вводим норму

$$\|X\| = \max_{A \in \Omega_m} |X(A)| + \sup_{A, B \in \Omega_m} \frac{|X(A) - X(B)|}{|AB|^{\zeta}}, \quad 0 < \zeta < 1.$$

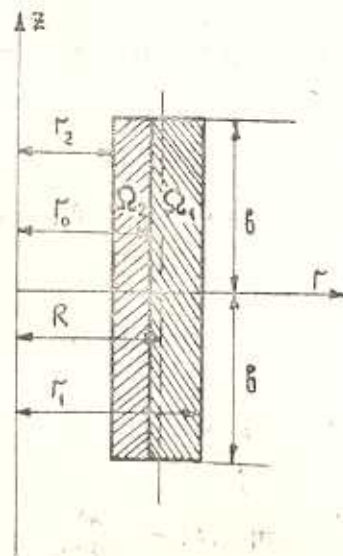
Применяя априорные оценки Шаудера и принцип максимума [17], которые в данном случае записываются в виде $\|D^2 \Phi_{mn}\| \leq c_m^* \|Q_{mn}\|$, где c_m^* — постоянная, зависящая от формы области, аналогично [4, 5] показывается, что ряд (3.4) и ряды, составленные из производных $\sum_{n=0}^{\infty} \lambda_m^n D \Phi_{mn}$, $\sum_{n=0}^{\infty} \lambda_m^n D^2 \Phi_{mn}$ ($m=1, 2$) сходятся абсолютно и равномерно с некоторыми радиусами сходимости.

§ 4. Тонкостенный составной сектор кругового кольца открытого профиля. Рассмотрим сектор кольца, состоящего из двух слоев различной толщины с сечением в виде узкого прямоугольника, вытянутого по направлению оси z (фиг. 4). Из уравнений (1.9) и (3.1), пренебрегая производными по z и интегрируя, получим:

$$\frac{\partial \Phi_1}{\partial r} - \int_{\gamma}^t f_1[\tilde{\tau}_0^{(1)}(z)] \frac{\partial \Phi_1}{\partial r} K_1(t, z) dz = \frac{D(t) G_1}{2} r + B_1(t) r^2 \\ \Phi_1(r, t) = \frac{D(t) G_1}{4} r^2 + B_1(t) \frac{r^4}{4} + D_1(t) \quad (4.1)$$

где $B_1(t)$, $B_2(t)$, $D_2(t)$ — неизвестные функции от t .

Пользуясь вышеприведенным методом и ограничиваясь только первыми двумя приближениями, решение нелинейного интегрального уравнения (4.1) можно представить в виде



Фиг. 4

$$\Phi_1(r, t) = f(r, t) + D_1(t) + O(\lambda^2) \quad (4.2)$$

где

$$f(r, t) = \int_{r_1}^r \left[H_0(t, r) + i \left[H_1(t, r) + \int_{r_1}^t H_1(\tau, r) R_1(t, \tau) d\tau \right] \right] dr$$

$$H_0(t, r) = \frac{D(t)G_1}{2} r + B_1(t)r^3 + \int_{r_1}^t \frac{D(\tau)G_1}{2} r + B_1(\tau)r^3 \left[R_1(t, \tau) d\tau \right]$$

$$H_1(t, r) = r^{-2} \int_{r_1}^t [H_0(\tau, r)]^2 K_1(t, \tau) d\tau$$

$D_1(t)$ — неизвестная функция.

К этим уравнениям нужно присоединить условия (3.2), которые примут следующий вид:

$$\begin{aligned} \Phi_1(r_1, t) &= \Phi_2(r_2, t) = 0, \quad \Phi_1(r_0, t) = \Phi_2(r_0, t) \\ \frac{G_1}{G_2} \frac{\partial \Phi_2}{\partial r} &- \frac{\partial \Phi_2}{\partial r} - \int_{r_1}^t \frac{\partial \Phi_1}{\partial r} f_1[\sigma_0^{(1)}(\tau)] K_1(t, \tau) d\tau \quad \text{при } r=r_0 \end{aligned} \quad (4.3)$$

Подставляя значения $\Phi_1(r, t)$, $\Phi_2(r, t)$ из (4.1), (4.2) в (4.3) и пользуясь (1.15), получим

$$D_1(t) = 0 \quad (4.4)$$

$$D(t) = b_3 + b_4 f(r_0, t) + b_4 \int_{r_0}^{r_1} \frac{f(r, t)}{r^3} dr \quad (4.5)$$

$$B_1(t) = c_1 + c_2 f(r_0, t) + c_3 \int_{r_0}^{r_1} \frac{f(r, t)}{r^3} dr \quad (4.6)$$

$$D_2(t) = d_1 + d_2 f(r_0, t) + d_3 \int_{r_0}^{r_1} \frac{f(r, t)}{r^3} dr \quad (4.7)$$

где

$$b_1 = \frac{G_2}{4} \ln \frac{r_2}{r_0} + \frac{1}{8} d_2 (r_2^2 - r_0^2) + \frac{1}{2} \left(\frac{1}{r_0^2} - \frac{1}{r_2^2} \right) a_2$$

$$b_2 = \frac{1}{b_1} \left[\frac{1}{8} a_1 (r_2^2 - r_0^2) + \frac{1}{2} a_4 \left(\frac{1}{r_0^2} - \frac{1}{r_2^2} \right) \right], \quad b_3 = -\frac{M}{4bb_1R}$$

$$b_4 = -1/b_1, \quad a_1 = -a_4 r_2^4/4, \quad a_2 = -G_2 (r_0^2 + r_2^2)$$

$$a_3 = a_2 r_0^2 r_2^2/4, \quad a_4 = -a_1 r_2^4/4, \quad c_1 = a_2 b_3, \quad c_2 = a_1 + a_3 b_2$$

$$c_3 = a_2 b_4, \quad d_1 = a_3 b_3, \quad d_2 = a_4 + a_3 b_2, \quad d_3 = a_3 b_4$$

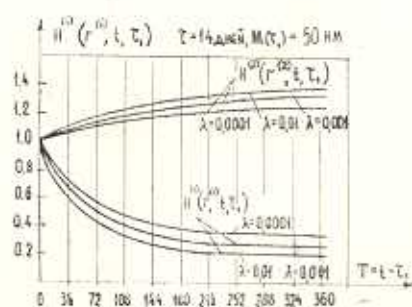
Подставляя выражения $D_1(t)$, $D_2(t)$, $B_2(t)$ и $D(t)$ в уравнение (4.3) и пользуясь (4.2), получим велическое интегральное уравнение относительно $B_1(t)$. Решая это уравнение методом Крылова-Боголюбова [18], определяем неизвестную функцию $B_1(t)$.

Пользуясь формулами (1.8), (4.1) и (4.2), напряжения в областях Ω_1 и Ω_2 можно представить в следующем виде:

$$\sigma_{z_1}^{(i)}(r, t, \tau_1) = H^{(i)}(r, t, \tau_1) \tau_{z_0}^{(i)}(r, \tau_1) \quad (i=1, 2)$$

Функции $H^{(1)}(r, t, \tau_1)$ и $H^{(2)}(r, t, \tau_1)$ представляют коэффициенты затухания и нарастания касательных напряжений $\sigma_{z_1}^{(1)}(r, t, \tau_1)$ и $\sigma_{z_2}^{(2)}(r, t, \tau_1)$ во времени для составного сектора кругового кольца при кручении.

На ЭВМ «ЕС-1022» при значениях параметров $3C_{0,1}=2,25 \cdot 10^{-5}$; $3A_{11}=12,05 \cdot 10^{-5}$; $G_1=8 \cdot 10^9$ Па; $G_2=8 \cdot 10^{10}$ Па; $R=4,5$ см; $r_{1,2}=R \pm 0,5$; $b=5(r_1-r_2)$; $r_0=R-1,8$ дано численное решение задачи.



Фиг. 5

На (фиг. 5) показаны изменения $H^{(1)}(r^{(1)}, t, \tau_1)$ и $H^{(2)}(r^{(2)}, t, \tau_1)$ при различных значениях λ , где $r^{(i)}=(r_0+r_i)/2$, ($i=1, 2$).

Аналогично можно получить решение и для составного сектора кругового колца с сечением в виде узкого прямоугольника, вытянутого по направлению r .

NON-LINEAR CREEP OF MULTILAYER SECTOR OF A CIRCULAR RING UNDER TORSION

F. M. POLADIAN

ԲԱՐՁՐԱՇԵՐՏ ՇՐՋԱԿԱՅԻՆ ՕՂԱԿԻ ՍԵԿՏՈՐԻ ՈՉ ԴԱՍՅԻՆ ՍՈՂՔԸ
ՈԼՈՐՄԱՆ ԴԵՎՐՈՒՄ

Ֆ. Մ. ՓՈԼԱԴՅԱՆ

Ա. Մ Փ Ո Փ Ո Ւ Ժ

Առավելասիրվում է ժառանգական, միմյանցից տարրեր ու գծային սողքի հատկություններ ունեցող նյութերից կազմված շրջանալին օղակի սեկտորի ոլորման խնդիրը:

Խնդիրը բերվում է յուրաքանչյուր տիրույթում խառը եղբային պայմաններով ոչ գծային ինտեգրա-դիֆերենցիալ հավասարման ինտեգրմանը:

Առավելասիրվում է ուղղանկյուն ընդլայնական հատույթի երկու գեպք, երբ բաժանման գերբ համապատասխանաբար զուգահեռ են կոռոդինատական առանցքներին:

Շրջանալին օղակի բարակապատ բաղադրյալ սեկտորի գեպքում կառուցված են լարումների բաղադրիչների զրաֆիկները:

ЛИТЕРАТУРА

1. Арутюян Н. Х. Некоторые вопросы теории излущечности.—М.—Л.: ГИТТЛ, 1952.
2. Cöhner O. Spannungsverteilung in einem an den Endquerschnitten belasteten Ringstabsector. —Ingr.-Arch., 1931, Bd 2.
3. Freiberger W. The uniform torsion of an incomplete torus. —Austral. J. Scient. Res. Ser. A, 1949, vol. 2, № 3.
4. Stein I. Stress analysis of a helical coil. —Trans. ASME, Ser. E, J. Appl. Mech. 1963, vol. 30, № 1. (Рус. перев.: Прикл. механ. Тр. Америк. о-ва инж.-механ. Сер. Е, 1963, т. 30, № 1).
5. Солляник-Красса К. В. К расчету винтовых пружин.—Тр. Ленинград. политех. ин-та, 1950, № 2.
6. Рабинович А. Л. Кручение элемента кругового кольца. Исследования по механике и прикладной математике.—Тр. Моск. физ.-тех. ин-та, 1958, вып. 1.
7. Соколовский В. В. Теория пластичности. 3-е изд. М.: Высшая школа, 1969.
8. Freiberger W. Blastic-plastic torsion of circular ring sector. —Quart. Appl. Math. 1956, vol. 14, № 3.
9. Задоян М. А. Пластическое кручение неполного тора.—Докл. АН СССР, 1975, т. 223, № 2.

10. Задоян М. А., Поладян Ф. М. Задача искривленной ползучести кривого стержня при кручении.—Докл. АН Арм. ССР, 1980, т. 71, № 23.
11. Поладян Ф. М. Кручение кривой разностенной трубы при искривленной ползучести.—Изв. АН Арм. ССР. Механика, 1981, т. 34, № 2.
12. Задоян М. А., Поладян Ф. М. Ползучесть кривого составного стержня при кручении.—Изв. АН Арм. ССР. Механика, 1983, т. 36, № 5.
13. Поладян Ф. М. Ползучесть составного сектора кругового кольца с поперечным сечением, ограниченным тремя неконцентрическими окружностями при кручении.—Докл. АН Арм. ССР, 1985, т. 80, № 4.
14. Новожилов В. В. Теория упругости. М.-Л.: Судостройиздат, 1962.
15. Арутюнян Н. Х., Абрамян Б. Л. Кручение упругих тел.—М.: Физматгиз, 1963.
16. Ватсон Г. Н. Теория бесконечных функций. Т. I. М.: ИЛ, 1949.
17. Курант Р. Уравнения с частными производными. М.: «Мир», 1965.
18. Канторович Л. В., Крылов В. И. Приближенные методы высшего анализа. Л.-М.: Физматгиз, 1962.

Ереванский политехнический институт

Поступила в редакцию
15.III.1989